# J-PARC MR における三次構造共鳴補正 COMPENSATION OF THIRD-ORDER STRUCTURE RESONANCES IN J-PARC MR

安居孝晃\*、五十嵐進、佐藤洋一、小関忠 Takaaki Yasui\*, Susumu Igarashi, Yoichi Sato, Tadashi Koseki **KEK** 

#### Abstract

A new method to compensate for the third-order structure resonance was considered. It was demonstrated in the main ring synchrotron of Japan Proton Accelerator Research Complex. The new method is to make a new beam optics whose phase advances in the arc section were adjusted to cancel the resonance. The third-order structure resonance  $\nu_x - 2\nu_y = -21$  was compensated with the new optics. It was shown by the aperture survey simulation. Three kinds of experiments were also performed to verify the compensation. First, the transverse couplings were measured. While the dipole oscillation was propagated from the x direction to the y direction with the present optics used in the neutrino user operation, the couplings were not measured with the new optics, showing the successful compensation. Second, the beam losses derived from the resonance  $\nu_x-2\nu_y=-21$  were measured. The beam losses were reduced with the new optics which revealed that the resonance was well weakened. Third, the Fourier spectra caused by the resonance  $\nu_x - 2\nu_y = -21$  were measured. The peak heights of the spectra derived from the resonance became smaller with the new optics. It also showed that the resonance was well compensated.

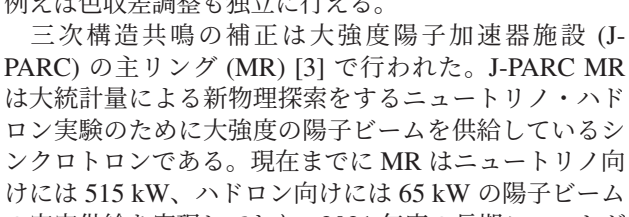
#### はじめに 1.

一般にシンクロトロンでは、共鳴現象がビームエミッ タンス増大やビーム損失等を引き起こす。よって安定し てビーム損失の少ない運転を行うために、まずは影響の 大きい低次の共鳴線を避けたチューンが選ばれ、それで も避けきれない共鳴については補正が試みられる。

共鳴補正については様々な先行研究がある。特に三次 の共鳴に絞ってみれば、多くのシンクロトロンにおいて 非構造共鳴の補正がなされている。ほとんどの場合にお いて非構造共鳴は、補正用の六極磁場を加えることによ り実現している。一方で、構造共鳴の補正についての文 献は少ない。例として文献 [1] では、横方向のエミッタン スを  $2\varepsilon_x = \varepsilon_y$  と設定することで、三次共鳴  $\nu_x - 2\nu_y = n$ によるエミッタンス増大が抑えられるとしている。

本プロシーディングスでは、三次構造共鳴を補正する 新たな手法を考案し、実証する。本手法では共鳴の強さ の位相依存性に注目した。チューン、つまりシンクロト ロン1周における位相進みは固定にしたままでも、ロー カルの位相進みは変更可能で、これを適切に調整した ビーム光学系を採用することで三次構造共鳴の補正を実 現した[2]。本手法の長所としては、補正用磁石等の追加 の機器は不要で、かつエミッタンスを初めとしたビーム 条件に制約がないことがある。またシンクロトロンの対 称性を利用すれば六極磁場の依存性が相殺されるので、 例えば色収差調整も独立に行える。

の安定供給を実現しており、2021年度の長期シャットダ



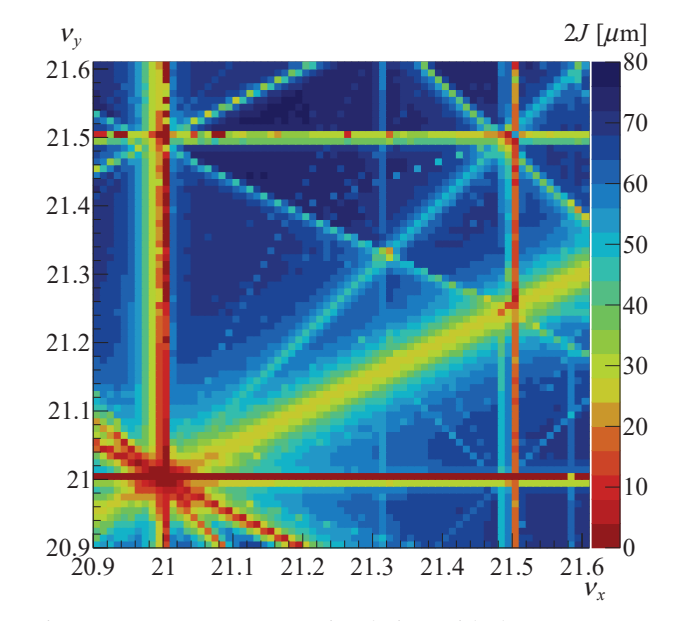


Figure 1: Aperture survey simulation with the present optics [2].

ウンを経て、それぞれ 1.3 MW、100 kW 運転を目指し ている [4]。1.3 MW ニュートリノ利用運転のためには、 ビーム損失率を減らすことが必要不可欠である。MR で は 3 GeV で入射した計 8 バンチのビームを 30 GeV ま で加速し出射しているが、ビーム損失は入射してから最 初の300 msec、つまりビームの入射期間から加速序盤の 低エネルギー領域に集中している。これは低エネルギー 領域では空間電荷力が強く、大きなチューンスプレッ ド分布が作られ、複数の共鳴の影響を受けている結果 だと考えられている。現在のニュートリノ利用運転にお けるビーム強度は  $3.3 \times 10^{13}$  protons per bunch (ppb) で ある。このときのチューンシフトは最大で約-0.4で、

<sup>\*</sup> takaaki.yasui@kek.jp

これは PIC トラッキングコード Space Charge Tracker (SCTR) [5] 等によっても示されている。

現在ニュートリノ利用運転ではチューンは  $(\nu_x, \nu_y) =$ (21.35, 21.43) に設定されている。この近傍における共 鳴の強さを評価するためにアパーチャサーベイを行っ た。本研究におけてアパーチャサーベイは、横方向のア クションが  $2J_x=2J_y=n~\mu\mathrm{m}~(n=0,1,2\cdots)$  の粒 子を SCTR で 1000 ターン周回させ、MR の物理アパー チャ 81π mm mrad を超えずに生き残った粒子の初期ア クションを採用した。このアパーチャサーベイは磁場エ ラーも考慮して行われたが、空間電荷効果については除 外している。Figure 1 はアパーチャサーベイの結果を示 している。MR は3回対称のシンクロトロンである故、 三次構造共鳴  $\nu_x - 2\nu_y = -21$  が強いことが図から見て 取れる。本プロシーディングスではこの共鳴の補正につ いて説明する。

## 2. 三次構造共鳴の補正原理

チューンが共鳴上にあるとき、三次構造共鳴  $\nu_x$  - $2\nu_{y} = n$  の強さは次の様に記述できる。

$$G_{1,-2} = \frac{\sqrt{2}}{8\pi} \oint \beta_x^{1/2} \beta_y K_2 e^{i[\psi_x - 2\psi_y]} ds \tag{1}$$

ただし、 $\beta_u$  はベータトロン関数、 $K_2$  は六極磁場の強さ、 $\psi_u=\int_{s_0}^s \mathrm{d}s/\beta_u$  は位相進みを表す。シンクロトロンが N 回対称の場合、磁場等のエラーを考えなければ、C を 加速器の周長として

$$G_{1,-2} = Ng_{1,-2} \tag{2}$$

$$G_{1,-2} = Ng_{1,-2}$$

$$g_{1,-2} = \frac{\sqrt{2}}{8\pi} \int_{s}^{s+C/N} \beta_x^{1/2} \beta_y K_2 e^{i[\psi_x - 2\psi_y]} ds$$
(2)

とかける。 $g_{1,-2}$  は superperiod ごとの共鳴の強さだと 解釈できる。さらに、六極磁場が現れる位置、つまり  $K_2 \neq 0$  となる位置を考えると、磁場エラーを考えない 限りは、偏向磁石か六極磁石がある位置になる。偏向磁 石はもちろんのこと、六極磁石も多くの場合は色収差補 正に用いるために分散関数が大きい加速器の曲線部に設 置されるので、以降は共鳴の励起源は全て加速器の曲線 部にあるとする。

ここで加速器の曲線部がさらに細かく M 個の対称的 な構造に分割できるとする。以降 M 等分された構造を モジュールと呼ぶことにする。例えば MR は1つの曲 線部は8つのモジュールで構成されていて、1つのモ ジュールは3つのFODOセルから成っている。1つのモ ジュールの長さを  $L_{
m mod}$  とすると、曲線部の六極磁場に ついては、

$$K_2(s + L_{\text{mod}}) = K_2(s)$$
 (4)

というさらに細かい周期条件を課すことができ、また適 切にビーム光学系を設計することにより、曲線部のベー タトロン関数について

$$\beta_u(s + L_{\text{mod}}) = \beta_u(s) \tag{5}$$

とすることもできる。このとき1モジュールの位相進

$$\Delta \psi_{\text{mod } u} \equiv \psi_u(s + L_{\text{mod}}) - \psi_u(s) \tag{6}$$

と定義すると、共鳴の強さは

$$g_{1,-2} = \frac{\sqrt{2}}{8\pi} \int_{s}^{s+L_{\text{mod}}} \beta_{x}^{1/2} \beta_{y} K_{2} e^{i[\psi_{x}-2\psi_{y}]} ds$$

$$\times \sum_{k=0}^{M-1} e^{ik(\Delta\psi_{\text{mod},x}-2\Delta\psi_{\text{mod},y})}$$
(7)

と書けるので、

$$\Delta \psi_{\text{mod},x} - 2\Delta \psi_{\text{mod},y} = \frac{2\pi j}{M} \quad (j \in \mathbb{Z}, \ j/M \notin \mathbb{Z})$$
 (8)

とすれば共鳴の強さ $G_{1,-2}$ はゼロにすることができる。

#### MR における新しいビーム光学系 3.

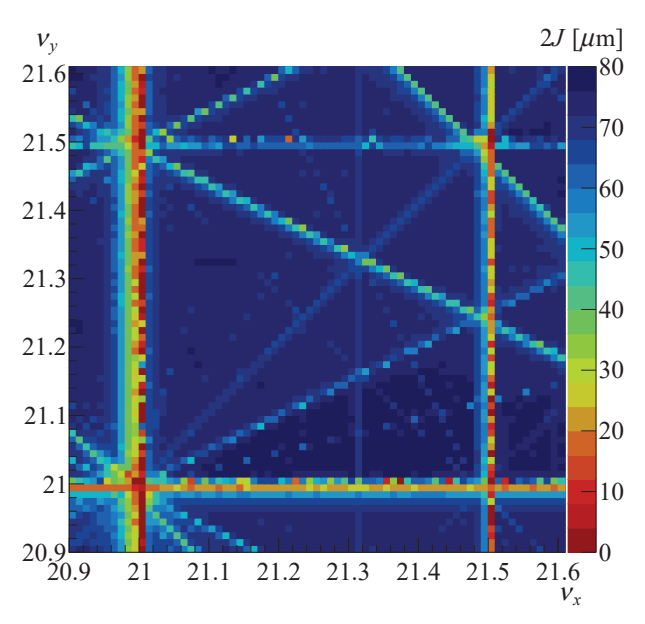


Figure 2: Aperture survey simulation with the new optics [2].

J-PARC MR は N=3, M=8 の構造をしており、ま た全ての六極磁石は加速器の曲線部に設置されている。 現在ニュートリノ利用運転に使われているビーム光学系 は、前章で述べた補正は特に考慮されておらず、三次構 造共鳴  $\nu_x - 2\nu_y = -21$  の影響が強く出ていたのであっ た。そこで Eq. (8) を満たすように

$$(\Delta\psi_{\text{mod},x}, \Delta\psi_{\text{mod},y}) = 2\pi(\frac{3}{4}, \frac{11}{16}) \tag{9}$$

として、さらに曲線部のM回対称性に気を配った新た なビーム光学系を考案した。

Figure 2 は新しい光学系を用いてアパーチャサーベイ シミュレーションを行った結果を示している。補正前に

#### PASJ2021 THOB01

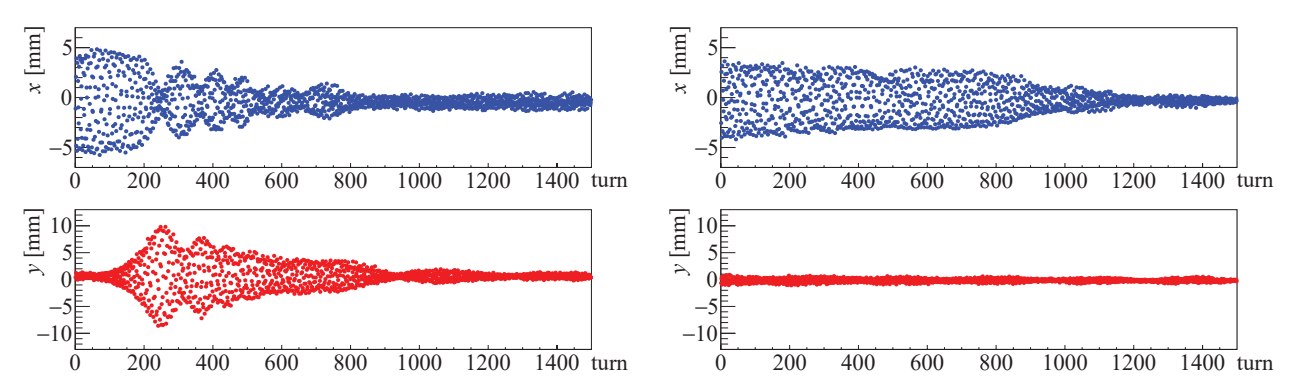


Figure 3: Center positions of the beams with the present (left) and new (right) optics in x (upper) and y (lower) coordinates measured by the BPMs [2].

は強かった  $\nu_x - 2\nu_y = -21$  が良く補正されていることが分かる。薄らと共鳴の影響が残っているように見えるが、これは磁場エラーに由来する。共鳴  $\nu_x - 2\nu_y = -21$  は構造共鳴としては補正されたが、「非構造共鳴」としての影響は残っていると解釈できる。

# 4. 横方向カップリング測定による共鳴補正 の評価

三次構造共鳴  $\nu_x - 2\nu_y = -21$  の補正は、アパーチャサーベイシミュレーションだけでなく、3 種類の実験によっても確認された。

1つ目の実験は横方向カップリング測定による評価である。一般に共鳴  $\nu_x-2\nu_y=n$  は横方向の重心運動を結合させることが知られている。カップリング現象を明確に観測するため、x 方向にのみ二極振動をさせたビームを入射し、振動が y 方向にも伝搬するかを調べた。チューンは  $(\nu_x,\nu_y)=(21.44,21.22)$  と共鳴上に設定した。この際、曲線部の光学系は変更せず、直線部の光学系の操作のみによってチューンを変えることで補正条件を保った。測定は beam position monitor (BPM) [6,7] を用いて行った。

Figure 3 に現新光学系で測定したターン毎のビーム重心位置を示した。現在の光学系 (左) では x,y 方向の重心振動が明らかに結合しているのに対して、新しい光学系 (右) ではそのような現象は見られなかった。

Table 1: Results of the Coupling Measurements [2]

Optics	Intensity	Sextupole <sup>†</sup>	Coupled ratio	
Present	$1.2  imes 10^{12}  ext{ ppb}$	99%	4/10	(40%)
		95%	5/10	(50%)
		90%	3/10	(30%)
	$2.5 \times 10^{12} \text{ ppb}$	74%	17/20	(85%)
New	$2.5\times10^{12}~\rm ppb$	74%	0/15	(0%)
		90%	0/10	(0%)

 $<sup>^\</sup>dagger The$  column "Sextupole" shows the ratios of the setting value to the value for the full chromaticity correction.

本実験は、同条件の測定でも信号に大きなばらつきが見られた。これは電磁石電源のリップルが大元にあり、チューンが 0.005 程度の範囲でふらつくことに起因する。実際カップリング現象は共鳴からの距離に強く依存し、シミュレーションからも x 方向には  $\Delta \nu_x \sim 0.006$ 、y 方向には  $\Delta \nu_y \sim 0.003$  ずれてしまうと観測されなくなってしまうことが予測されていた [2]。そこで同条件で複数回測定を行い、統計的に結果を解釈した。

今回の解析においては、BPM における y 方向の二極振動の振幅が 3 mm を超えた場合、「カップリング現象が観測された」と定義した。解析に用いた BPM におけるベータトロン関数は  $\beta_y=26.5$  m であるため、アクションに換算すると  $2J_y=0.34$   $\mu$ m になる。測定結果は Table 1 の通りである。現在の光学系を用いた際は、どの条件においても 100% ではないがカップリング現象が確認されたのに対して、新しい光学系を用いた際は、1 回もカップリング現象は観測されなかった。このことから新しい光学系においては三次構造共鳴  $\nu_x-2\nu_y=-21$  は良く補正されたことが示された。

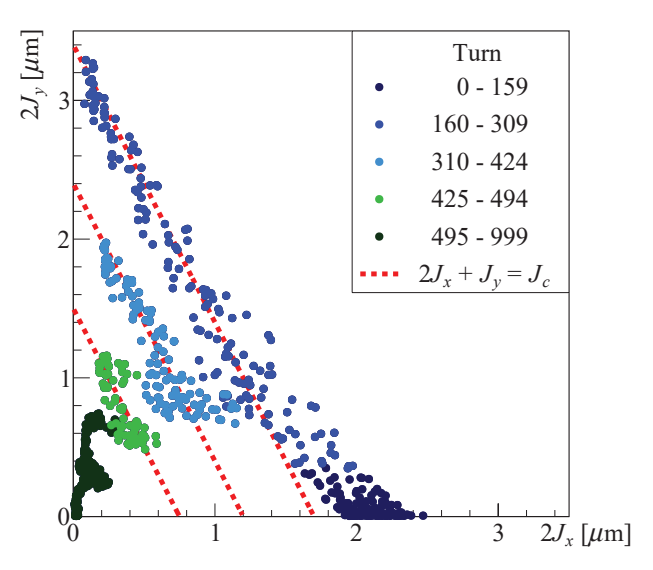


Figure 4: Transverse actions of the beam with the present optics [2]. The colors correspond to the turn from the beam injection.

現在の光学系において観測されたカップリング現象 が確かに  $\nu_x - 2\nu_y = -21$  によって引き起こされたこと を確認するために、カップリング現象が測定されたデー タについてアクションを計算した。一般にビームが共鳴  $\nu_x - 2\nu_y = n$  の影響を受けると、 $J_c = 2J_x + J_y$  が定 数となる。ただしこれはビーム振動が減衰しないことを 仮定しており、Fig. 3を見れば明らかなように、今回の 実験では長期的には振動は減衰しているためこれは成 り立たない。しかしながら減衰はそこまで早くはないの で、短期間であれば  $J_c$  の保存が確認できるはずである。 Figure 4 は現在の光学系を用いた 1 つのデータについ て、0–999 周までの  $(J_x, J_y)$  をプロットしたものである。 これを見ると、160-309 周のときは  $2J_x + J_y = 1.7 \mu m$ 、 310–424 周のときは  $2J_x+J_y=1.2~\mu\mathrm{m}$ 、425–494 周の ときは  $2J_x + J_y = 0.75 \,\mu\mathrm{m}$  の線上に乗ってカップリン グ現象が起きていることが分かる。このことからカップ リング現象を起こしていたのは三次共鳴  $\nu_x - 2\nu_y = -21$ であることが確認された。

# 5. ビームロス測定による共鳴補正の評価

三次構造共鳴  $\nu_x-2\nu_y=-21$  の補正を確認する 2つ目の実験はビームロス測定である。共鳴が補正されたのならば、共鳴周辺においてビームロスは減少するはずである。そこで  $\nu_x=21.44$ ,  $\nu_y=21.20\sim21.29$  の範囲でチューンスキャンを行い、確かに共鳴  $\nu_x-2\nu_y=-21$ がビームロスを起こしていることを確認し、現新光学系でのビームロスを比較した。ビームロスは direct-current current transformer (DCCT) [6] を用いて測定したビーム電流の減少率とした。本実験においては、応答を明確にするために、コリメータを x,y 方向とも  $40\pi$  mm mradまで狭め (利用運転は約  $60\pi$  mm mrad)、比較的大きい強度  $(2.3\times10^{13}\ {\rm ppb})$  で入射期間に相当する  $130\ {\rm msec}$ の間、2 バンチのビームを周回させたときのビームロスを評価対象とした。チューンは低強度  $(2.5\times10^{12}\ {\rm ppb})$ ビームを用いて、チューンメータ [6] で測定した。

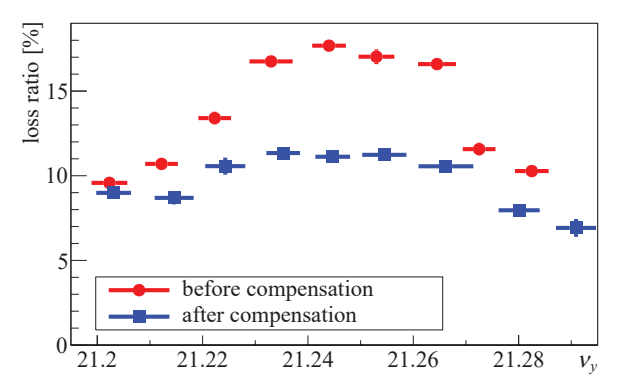


Figure 5: Beam loss ratios measured by the DCCT with the present (red) and new (blue) optics [2]. The horizontal error bars show the tune errors derived from ripples of the power supplies measured by the tune meter.

Figure 5 はビームロス測定の結果である。現在の光学系の結果 (赤) を見ると、 $\nu_y=21.24$  近傍でビームロスのピークを取った。これは確かにこのチューン近傍では

 $\nu_x-2\nu_y=-21$  がビームロスを引き起こしていることを示している。ちょうど共鳴に乗る条件は  $\nu_y=21.22$  であるが、今回ピークが若干高めのチューンになったのは、空間電荷効果の影響であると考えられる。一方で新しい光学系の結果 (青) を見ると、ビームロスのピークが大幅に抑えられていることが分かる。このことからも、共鳴  $\nu_x-2\nu_y=-21$  は十分に弱められていることが確認できた。

## 6. フーリエ解析による共鳴補正の評価

三次構造共鳴  $\nu_x - 2\nu_y = -21$  の補正を確認する 3 つ 目の実験はフーリエ解析である。ビームの重心運動を フーリエ変換すると、チューンのスペクトルが立つこ とはよく知られているが、他にも共鳴由来のスペクトル も立つ [8]。そこで現新光学系において重心振動をフー リエ解析し、共鳴由来のスペクトルを比較した。共鳴  $\nu_x - 2\nu_y = -21$  によるスペクトルは、x 方向には  $2\nu_y$ 、 y 方向には  $\nu_x - \nu_y$ (の小数部) に相当する周波数に立つ。 本実験においては、チューンは  $(\nu_x, \nu_y) = (21.44, 21.24)$ に設定したので、共鳴  $\nu_x - 2\nu_y = -21$  によるスペクト ルが立つのは、 $(f_x, f_y) = (0.48, 0.20)$  である。共鳴上の チューンを避けたのは、共鳴上にしてしまうとチューン のスペクトルと共鳴のスペクトルが被ってしまうからで ある。ビームは低強度  $(1.6 \times 10^{12} \text{ ppb})$  に設定され、x,y方向とも二極振動をつけて入射した。入射から 256 周ま でのビームの重心の位置を BPM で測定し、フーリエ解 析した。

Figure 6 は現 (左) 新 (右) 光学系でのフーリエ解析 の結果である。現在の光学系については、チューンの ピークの位置は  $(f_x, f_y) = (0.436736, 0.237540)$  にあ り (青と赤)、さらに 2 番目の高いピークが  $(f_x, f_y)$  = (0.474752, 0.199253) にあった (緑)。この 2 番目の高い ピークは、 $(2\nu_y, \nu_x - \nu_y)$  に 0.0003 の精度で一致して おり、共鳴  $\nu_x - 2\nu_y = -21$  によるスペクトルである と言える。一方新しい光学系においては、チューンの ピークは  $(f_x, f_y) = (0.443970, 0.237501)$  にあった (青 と赤)。チューンの位置から考えられる共鳴のピーク の位置に最も近いピークが緑で示されており、位置は  $(f_x, f_y) = (0.470968, 0.206084)$  であった。この位置は、 y 方向に関しては  $\nu_x - \nu_y$  に 0.0004 の精度で一致して いるが、x 方向には  $2\nu_y$  から 0.004 ずれている。このこ とから x 方向に見えるピークはノイズ由来の可能性が高 く、実際ピークの高さはほぼノイズレベルである。

現新光学系で共鳴のピークの高さを比較すると、現在の光学系においてはチューンのピークと比較して (x,y)=(3.26%,10.14%) であったが、新しい光学系においては (x,y)=(0.95%,1.35%) であった。つまり新しい光学系を採用することで、共鳴  $\nu_x-2\nu_y=-21$  は x 方向には 0.95%/3.26%=29%、y 方向には 1.35%/10.14%=13% にまで抑えられたと考えられる。 x 方向の方が y 方向のピークより値が高いのは、x 方向のピークがノイズ由来であるからで、真の共鳴由来のピークはより小さい値であると考えられる。また y 方向には新しい光学系でも共鳴由来のピークが見えた理由は、磁場エラーの影響で共鳴  $\nu_x-2\nu_y=-21$  が「非構造共鳴」として残っていることに対応している。

#### PASJ2021 THOB01

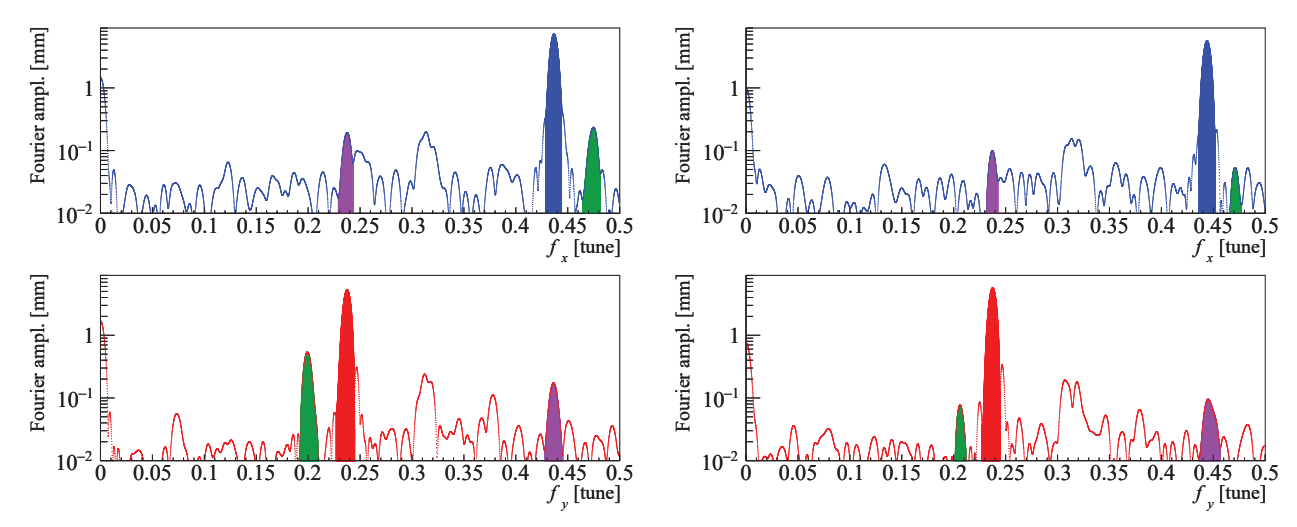


Figure 6: Horizontal (upper) and vertical (lower) Fourier spectra with the present (left) and new (right) optics [2]. The spectra of the tunes are colored blue and red, while those of the resonance  $\nu_x - 2\nu_y = -21$  are colored green.

## 7. 結論

本プロシーディングスでは三次構造共鳴を補正する 新たな手法が考案・実証されたことを示した。構造共鳴 の補正の手法は、曲線部の位相進み  $\Delta\psi_y$  を調整させる ことであり、シンクロトロンの対称性を利用して共鳴 の強さを相殺している。実証は J-PARC MR で行われ、 ニュートリノ利用運転でのチューンに近い三次構造共鳴  $\nu_x - 2\nu_y = -21$  をターゲットとした。現在利用運転で用 いられているビーム光学系では  $\nu_x-2\nu_y=-21$  は強い 影響を持っているが、これを補正するために上記の手法 に則り新しい光学系を考案した。シミュレーションベー スの議論ではアパーチャサーベイが行われ、新しい光学 系を用いると  $u_x - 2
u_y = -21$  が良く補正できることが 確認された。本補正手法は3種類の実験によっても確認 された。1つ目は共鳴に起因する横方向のカップリング 測定であった。現在の光学系を用いた場合は、x 方向の 二極振動が y 方向に伝搬する様子が BPM を用いて測定 できた。新しい光学系を用いた場合には、十分な試行回 数を経ても二極振動が伝搬する事象は一度も観測されな かったため、共鳴が良く補正できていることが示された。 また現在の光学系で観測されたカップリング現象につい て、振動の減衰が無視できる期間においては、アクショ ンを解析することにより  $2J_x + J_y$  が保存していること が分かり、カップリング現象が共鳴  $\nu_x - 2\nu_y = -21$  に よって引き起こされていたことも確認できた。2つ目の 実験は共鳴由来のビームロスの比較であった。現在の光 学系において、共鳴を跨ぐ複数のチューンで DCCT ベー スでビームロス測定をしたところ、共鳴によってビーム ロスが増えることが確認できた。新しい光学系で同様の 実験をしたところ、共鳴によるビームロスの増加は大き くなく、共鳴が抑制されていることが確認された。3つ 目の実験はビームの二極振動をフーリエ解析することに よる共鳴由来のスペクトルの評価であった。現在の光学 系においては、共鳴  $u_x - 2\nu_y = -21$  由来のスペクトル を観測することに成功した。新しい光学系においては、

x 方向のスペクトルに関してはノイズに埋もれるレベルであり、y 方向は観測されたものの、現在の光学系で観測されたものと比較して約 13% にまで抑えられていており、共鳴が弱められていることが示された。

# 謝辞

著者は実験の相談から設定まで幅広くご貢献頂いた J-PARC MR の電磁石電源グループに深謝致します。また SCTR の実装や助言を頂いた大見和史氏にも拝謝しております。J-PARC MR のモニター、RF、3-50BT、入出射、制御、真空グループにも実験のご協力を頂き感謝の意を表したいと思います。

#### 参考文献

- S. Y. Lee *et al.*, "Evolution of beam distribution in crossing a Walkinshaw resonance", Phys. Rev. Lett. 110, 094801 (2013).
- [2] T. Yasui, "Evaluation and compensation of betatron resonances for high-intensity proton synchrotrons", Doctoral dissertation, The University of Tokyo, Tokyo, Japan, 2020.
- [3] T. Koseki *et al.*, "Beam commissioning and operation of the J-PARC main ring synchrotron", Prog. Theor. Exp. Phys. 2012, 02B004 (2012).
- [4] S. Igarashi *et al.*, "Accelerator design for 1.3-MW beam power operation of the J-PARC main ring", Prog. Theor. Exp. Phys. 2021, 033G01 (2021).
- [5] K. Ohmi *et al.*, "Study of halo formation in J-PARC MR", in Proc. PAC'07, Albuquerque, NM, USA, June 2007, pp. 3318–3320.
- [6] K. Satou *et al.*, "Beam diagnostic system of the main ring synchrotron of J-PARC", in Proc. HB'08, Nashville, Tennessee, USA, 2008, pp. 472-474.
- [7] T. Toyama *et al.*, "Performance and upgrade of BPMs at the J-PARC MR", in Proc. IBIC'12, Tsukuba, Japan, October 2012, pp. 107-111.
- [8] A. Franchi *et al.*, "Magnet strength measurement in circular accelerators from beam position monitor data", Phys. Rev. ST Accel. Beams 10, 074001, (2007).